

УДК 537.8

ДИЭЛЕКТРИЧЕСКАЯ РЕЛАКСАЦИЯ В ВОЛОКНИСТОМ КОМПОЗИТЕ ПОЛИЭТИЛЕН/ФЕРРИТ

А.А. Паньков

Пермский национальный исследовательский политехнический университет

Получена 1 февраля 2014 г.

Аннотация. Исследовано влияние толщины прослойки полиэтилена между однонаправленными ферритовыми волокнами и частоты электрического поля на эффективную диэлектрическую проницаемость и проводимость полидисперсного композита с учетом максвелл-вагнеровской релаксации. Приведены графики частотных зависимостей эффективных констант и диаграмм Коула-Коула композита. Подтвержден недебаевский характер диэлектрической релаксации в полидисперсных матричных структурах.

Ключевые слова: максвелл-вагнеровская релаксация, композит, эффективные свойства, полидисперсная структура.

Abstract. Influence of the thickness of a layer of polyethylene between unidirectional ferrite fibers and frequencies of electric field on effective dielectric permeability and conductivity of a polydisperse composite taking into account maksvell-wagner relaxation is investigated. Schedules of frequency dependences of effective constants and Cole-Cole's charts of the composite are provided. Not Debye character of a dielectric relaxation in polydisperse matrix structures is confirmed.

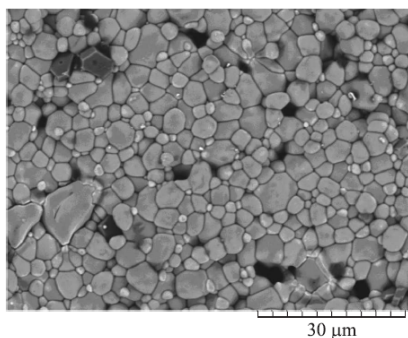
Key words: maxwell-wagner relaxation, composite, effective properties, polydisperse structure.

Введение

В [1] для аппроксимации экспериментальных частотных зависимостей действительной и мнимой частей диэлектрической проницаемости поликристаллической керамики (рис.1,а) использована подгонка варьируемых параметров равновероятного распределения времен релаксации. В [1] в частности отмечено, что физической основой модели может быть максвелл –

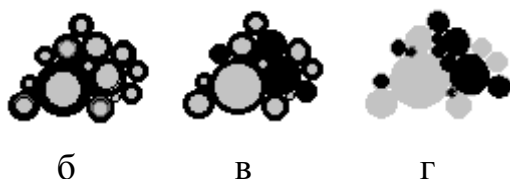
вагнеровская поляризация и релаксация [2-6] в электрически неоднородной матричной системе из зерен, окруженных тонкими слоями с малой [7] проводимостью и отличной от зерен диэлектрической проницаемостью; вариация проницаемостей, проводимостей, размера зерен и толщин оболочек вокруг них приводит к широкому распределению времен релаксации и обуславливает большие величины диэлектрической проницаемости и проводимости и недебаевскую релаксацию в поликристаллическом материале.

Цель работы – подтвердить недебаевский характер диэлектрической релаксации в полидисперсных матричных структурах и исследовать влияние толщины прослойки полиэтилена между ферритовыми волокнами и частоты электрического поля на эффективную диэлектрическую проницаемость и проводимость композита.



а

Рис. 1 Фрагменты реальной [1] (а),
моделей (б)-(г) полидисперсных
структур



б

в

г

1. Диэлектрическая проницаемость композита. Самосогласованные решения

Методы самосогласования [8-12] представляют одно из направлений механики композитов и основаны на учете многочастичного взаимодействия между волокнами композита через замену неоднородной среды, окружающей произвольное волокно, например, без учета или с учетом прилегающей к нему прослойкой матрицы однородной анизотропной средой с искомыми

эффективными свойствами композита. Полученные таким образом расчетные схемы: одиночное включение в эффективной среде и одиночное включение с прослойкой матрицы в эффективной среде, с заданным на большом удалении от волокна однородным полем макронапряженности электрического поля, позволяют рассчитать эффективные диэлектрические проницаемости композитов с соответствующими полидисперсными структурами (рис.1). В полидисперсных структурах распределение ячеек (поперечных сечений однофазных на рис.1,г и составных двухфазных на рис.1,б,в цилиндров) по размерам достаточно широко, включая и бесконечно малые, что обуславливает возможность заполнения такими полидисперсными ячейками всей представительной области композита.

Для рассматриваемых моделей (рис.1,б-г) полидисперсных структур относительное число ячеек с волокнами (1-я фаза) $p_0 = v_1(1 + \delta)^2$, где относительное объемное содержание 1-й фазы (волокон) в композите v_1 , величина прослойки $\delta \equiv (r_b - r_a)/r_a$ матрицы (2-я фаза) может принимать значения

$$\delta \in [0; \delta_{\max}], \quad \delta_{\max} = 1/\sqrt{v_1} - 1 \quad (1)$$

до максимально возможного значения δ_{\max} , отношение радиусов $r_a/r_b = \sqrt{v_0}$ волокна r_a и ячейки r_b не зависит от абсолютных размеров ячейки, объемная доля волокна в произвольной ячейке с волокном $v_0 = v_1/p_0$. В предельных случаях: $\delta = \delta_{\max}$, $p_0 = 1$ (рис.1,б), $\delta = 0$, $p_0 = v_1$ (рис.1,г).

Полидисперсные структуры (рис.1,б,в) сохраняют свойство матричности 2-й фазы при всех возможных степенях наполнения $v_1 \in (0;1)$ композита 1-й фазой для всех значений $\delta \in (0; \delta_{\max}]$. Лишь в случае $\delta = 0$ (рис.1,г) свойство матричности исчезает и структура становится инвариантной к инверсии свойств 1-й и 2-й фаз при фиксированных объемных долях обеих фаз: v_1 и $v_2 = 1 - v_1$.

Интерес к исследованию полидисперсных моделей обусловлен возможностью получения точных, в рамках модели, аналитических решений [8,9] для эффективных констант, в частности диэлектрических проницаемостей композита.

Для полидисперсной структуры на рис.1, с трансверсально-изотропными диэлектрическими проницаемостями обеих фаз решение для эффективной диэлектрической проницаемости в плоскости изотропии $r_1 r_2$

$$\lambda_{22}^* = \lambda_{11}^* = \frac{1}{2a}(-b \pm \sqrt{D}) \quad (2)$$

может быть получено из расчетной схемы: одиночное волокно с прослойкой матрицы толщиной δ в эффективной среде [9], нагруженной поперечным, например, вдоль оси r_1 электрическим полем как решение квадратного уравнения

$$a(\lambda_{11}^*)^2 + b\lambda_{11}^* + c = 0,$$

в решении (2) которого

$$D = b^2 - 4ac, \quad a = b_0, \quad b = a_0 - b_0\lambda_{(2)11} - 4v_1\bar{\lambda}_{11}, \quad c = -a_0\lambda_{(2)11},$$

$$a_0 = \lambda_{(1)11} + \lambda_{(2)11} + v_0\bar{\lambda}_{11}, \quad b_0 = 1 + v_0 + (1 - v_0)\frac{\lambda_{(1)11}}{\lambda_{(2)11}},$$

разность $\bar{\lambda}_{11} = \lambda_{(1)11} - \lambda_{(2)11}$, диэлектрические проницаемости фаз: $\lambda_{(1)11}, \lambda_{(2)11}$.

Для случая отсутствия прослойки ($\delta=0$) в структуре на рис.1,г, в решении (2) для эффективной диэлектрической проницаемости λ_{11}^* коэффициенты

$$a = 1, \quad b = \bar{\lambda}_{11}(1 - 2v_1), \quad c = \lambda_{(1)11}\lambda_{(2)11}$$

Решение для эффективной продольной диэлектрической проницаемости всех структур (рис.1,б-г)

$$\lambda_{33}^* = \langle \lambda_{33} \rangle = v_1\lambda_{(1)33} + v_2\lambda_{(2)33} \quad (3)$$

совпадает с решением Фойгта и не зависит от толщины прослойки δ , оператор осреднения по объему композита $\langle \dots \rangle$.

Отметим, что известные [2] решения $\lambda_{(1)11}^*$, $\lambda_{(2)11}^*$ или границы Хашина-Штрикмана для поперечных диэлектрических проницаемостей однонаправленного двухфазного волокнистого композита

$$\begin{aligned} \frac{v_2}{\lambda_{(1)11}^* - \lambda_{(1)11}} &= \frac{v_1}{2\lambda_{(1)11}} - \frac{1}{\bar{\lambda}_{11}}, \\ \frac{v_1}{\lambda_{(2)11}^* - \lambda_{(2)11}} &= \frac{v_2}{2\lambda_{(2)11}} + \frac{1}{\bar{\lambda}_{11}}, \end{aligned} \quad (4)$$

для продольной диэлектрической проницаемости $\lambda_{(1)33}^* = \lambda_{(2)33}^* = \langle \lambda_{33} \rangle$ (3).

Учет проводимостей γ_f фаз $f = \overline{1,2}$ и частоты ω приложенного электрического поля через комплексную форму записи [2-6]

$$\lambda_f = \lambda'_f - i\gamma_f / \omega \quad (5)$$

тензоров диэлектрических проницаемостей λ_f фаз с действительными частями λ'_f приводит к комплексному виду тензора эффективных диэлектрических проницаемостей (2) композита

$$\lambda^* = \lambda^{*'} - i\lambda^{*''}, \quad (6)$$

где мнимая часть $\lambda^{*''} = \gamma^{*'} / \omega$ выражается через действительную часть $\gamma^{*'}$ эффективной проницаемости композита

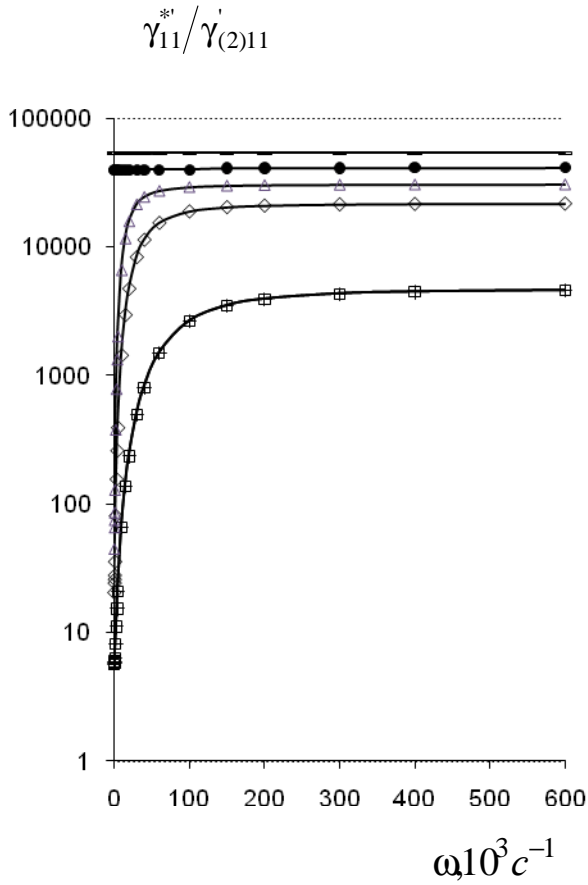
$$\gamma^{*'} \equiv i\omega\lambda^* = \gamma^{*'} + i\gamma^{*''} \quad (7)$$

Для четкого выделения релаксационных максимумов исключим из мнимой части эффективной диэлектрической проницаемости $\lambda^{*''} = \lambda^{*''}(\omega)$ сингулярную составляющую, обусловленную статической при $\omega \rightarrow 0$ или «сквозной» [1] проводимостью

$$\gamma_{\omega \rightarrow 0}^{*'} = \lim_{\omega \rightarrow 0} (\omega\lambda^{*''}),$$

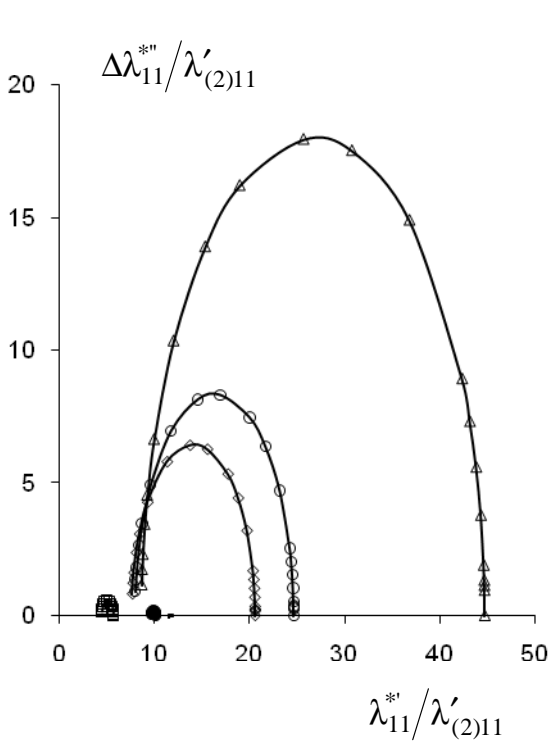
и найдем релаксационные максимумы из анализа частотной зависимости вспомогательной функции

$$\Delta\lambda^{*''}(\omega) = \frac{1}{\omega} (\gamma^{*'}(\omega) - \gamma_{\omega \rightarrow 0}^{*'}) \quad (8)$$

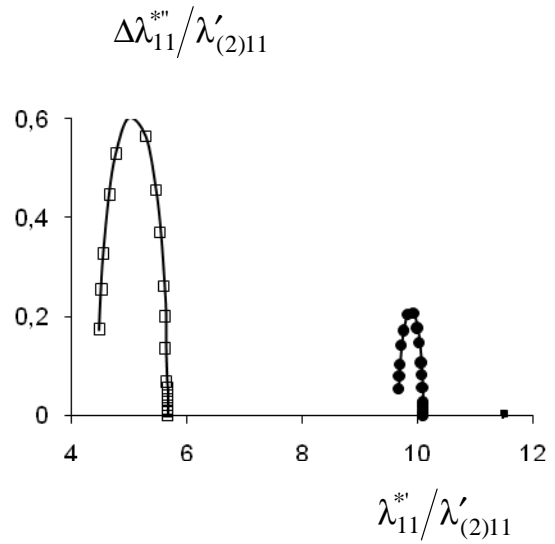


В

Рис.2 Частотные зависимости эффективной диэлектрической проницаемости λ_{11}^* (а), разности $\Delta\lambda_{11}^{*''}$ (б) и проводимости $\gamma_{11}^{*'}$ (в) КОМПОЗИТА



а



б

Рис.3 Диаграммы Коула-Коула

$\nu_1 = 0.7$ для различных значений прослоек δ (1) между волокнами: $\delta = \delta_{\max} \approx 0.2$ (\square), 0 (\bullet), 0.025 (\diamond), 0.02 (\circ), 0.01 (\triangle); границы Хашина-Штрикмана (-) и (+) (4). Отметим, что решения (+) и (\square) совпадают для всех значений ν_1 , ω и на рис.2,б использована логарифмическая шкала для частоты ω по аналогии [1].

3. Выводы

Наличие явно выраженных максимумов у кривых на рис.2,б свидетельствует о протекании в композите релаксационного процесса, а вид диаграмм Коула-Коула (рис.3) указывает на недебаевскую релаксацию [1]. Вид графиков на рис.2, рис.3 хорошо согласуются с экспериментальными данными в [1]. В предельном случае, при устремлении толщины прослойки к нулю ($\delta \rightarrow 0$) решения для эффективной диэлектрической проницаемости λ_{11}^* и проводимости $\gamma_{11}^{*'}$ стремятся к соответствующим решениям для случая $\delta = 0$ с расчетной схемой – волокно в эффективной среде лишь в высокочастотном случае при $\omega \rightarrow \infty$. В низкочастотном случае, особенно при $\omega \rightarrow 0$, наличие даже бесконечно малых прослоек $\delta \rightarrow 0$ очень существенно влияет на значения эффективных констант λ_{11}^* и $\gamma_{11}^{*'}$ композита и на отличие в несколько раз от соответствующих решений при $\delta = 0$ (рис.2). Все решения для мнимой части диэлектрической проницаемости λ_{11}^{**} (рис.2,а) и действительной части проводимости $\gamma_{11}^{*'}$ (рис.2,в) композита, полученные при варьировании толщины прослойки $\delta \in [0; \delta_{\max}]$, лежат внутри соответствующих границ Хашина-Штрикмана. Решения для действительной части λ_{11}^* попадают в эти границы лишь при высоких значениях частоты $\omega > 10^5 \text{ c}^{-1}$ (рис.2,а).

Литература

1. Павленко А.В., Турик А.В., Резниченко Л.А., Шилкина Л.А., Константинов Г.М. Диэлектрическая релаксация в керамике $\text{PbFe}_{1/2}\text{Nb}_{1/2}\text{O}_3$ // Физика твердого тела. – 2011. – Т. 53, № 9. – С. 1773–1776

2. Виноградов А.П. Электродинамика композитных материалов. – М.: Эдиториал УРСС, 2001. – 208 с.
3. Турик А.В., Радченко Г.С., Чернобабов А.И., Турик С.А. Диэлектрическая проницаемость полимерных матриц, содержащих изолированные включения: гигантское диэлектрическое усиление вместо коллективного резонанса // Письма в ЖЭТФ. – 2004. – Т. 79, № 9. – С.512–514
4. Соцков В.А. Экспериментальная оценка концентрационной зависимости действительной части диэлектрической проницаемости в неупорядоченной макросистеме парафин-графит // Письма в ЖТФ. – 2004. – Т. 30, № 12. – С.1-5
5. Pan'kov A.A. Maxwell–wagner relaxation in fibrous polydisperse magnetoelectric piezocomposites // Mechanics of Composite Materials. – 2013. – Vol. 49, № 1. – pp.45-50
6. Паньков А.А. Максвелл-вагнеровская релаксация в пьезокомпозите PVF/феррит с эллипсоидальными включениями в переменном электрическом поле // Журнал радиоэлектроники: электронный журнал. – 2013. – №6. URL: <http://jre.cplire.ru/jre/jun13/12/text.pdf>
7. Raevski I.P., Prosandeev S.A., Bogatin A.S., Malitskaya M.A., Jastrabik L. // J. Appl. Phys. 93, 4130 (2003)
8. Кристенсен Р. Введение в механику композитов. – М.: Мир, 1982. – 334 с.
9. Паньков А.А. Методы самосогласования механики композитов. – Пермь: Изд-во Перм. гос. техн. ун-та, 2008. – 253 с.
10. Pan'kov A.A. A self-consistent statistical mechanics approach for determining effective elastic properties of composites // Theoretical and Applied Fracture Mechanics. – 1999. – Vol. 31, № 3. – pp.157–161
11. Pan'kov A.A. A generalized self-consistent method for composites with random elastic properties of inclusions // Mechanics of Composite Materials. – 1999. – Vol. 35, № 6. – pp.513–520
12. Паньков А.А. Самосогласованные решения для коэффициентов электромагнитной связи волокнистого пьезокомпозита // Механика композиционных материалов и конструкций. – 2013. – Т.19, №2. – С.233–243

- 13.Турик А.В., Радченко Г.С. Гигантский пьезоэлектрический эффект в слоистых композитах сегнетоэлектрик-полимер // Физика твердого тела. – 2003. – Т. 45, № 9. – С.1676–1679
- 14.Петров В.М., Бичурин М.И., Srinivasan G. Максвелл-вагнеровская релаксация в магнитоэлектрических композиционных материалах // Письма в ЖТФ. – 2004. – Т. 30, № 8. – С.81–87